

شبیه‌سازی عددی رفتار جریان گرما-شاره حول استوانه با وجود مفتول کنترل گر*

مقاله علمی - پژوهشی

سید اسماعیل رضوی^(۱) توحید ادیبی^(۲) احسان عباسی تبریزی^(۳)

چکیده در این مطالعه، تأثیر یک استوانه یا مفتول کمکی در بالادست جریان سیال حول استوانه به قطر D در یک کانال دوبعدی به ابعاد $20D \times 50D$ و در عدد رینولدز ۱۰۰ بر الگوهای گرما-شاره استوانه در حالت‌های ساکن و نوسانی مفتول بررسی شده است. فاصله افقی مفتول از $1/5D$ تا AD ، قطر آن از $0.1D$ تا $0.9D$ و همچنین فاصله عمودی مفتول از محور افقی از $0.1D$ تا $0.9D$ متغیر است. معادلات حاکم در این مطالعه، معادلات پایستاری با فرض جریان دوبعدی، ناپایا، تراکم‌ناپذیر، آرام و لزج می‌باشند. شرط مرزی عدم لغزش در دیواره استوانه‌ها و شرط دما ثابت در استوانه اصلی و شرط عایق دیواره برای مفتول برقرار است. معادلات حاکم به روش پسر و با نرم‌افزار کام‌سول حل شده‌اند. نتایج نشان می‌دهند که وجود مفتول یا استوانه کمکی در بالادست جریان در حالت ساکن باعث کاهش ضریب پسا و عدد نوسل استوانه اصلی می‌شود ولی نوسان عرضی آن با قطر $0.3D$ ، فاصله $3D$ و دامنه $0.25D$ ، باعث افزایش این مقادیر نسبت به حالت ساکن می‌گردند که این افزایش در حالت قفل‌شدگی یعنی $F=1$ بیش‌ترین مقدار است.

واژه‌های کلیدی استوانه دایره‌ای، جریان آرام، مفتول کنترل‌گر، انتقال حرارت.

Numerical Simulation of the Heat-Fluid Flow Behavior Around the Cylinder with the Controller Wire

S. E. Razavi T. Adibi E. Abbasi Tabrizi

Abstract In this paper, the effects of tripwire in upstream of flow over a circular cylinder in a 2D channel and $Re=100$ has been investigated. The dimensions of the channel are $20D \times 50D$. The distance between cylinder and wire is considered from $1.5D$ to $6D$, and the relative size of wire is considered from $0.1D$ to $0.9D$. The governing equations are continuity, momentum, and energy for 2D, incompressible, unsteady and viscous conditions. The no-slip condition for both cylinder wall, constant temperature for cylinder, and adiabatic wall for wire have been considered in this paper. The followed equations have been solved by the back-ward differentiate method and the CFD software - COMSOL MULTYPHISIC. The results show that the higher diameter of the wire and horizontal and vertical distances of the wire causes a higher decrease in values of cylinder's drag and heat transfer. At all, It is found that existing of wire in upstream, decreases the drag and heat transfer of the cylinder but oscillating wire with the amplitude of $0.25D$ and relative distance and diameters of $3D$ and $3D$ causes increasing in discussed parameters relative to the stationary state of them.

Key Words Circular Cylinder, Controller Wire, Laminar Flow, Heat Transfer.

DOI: 10.22067/fum-mech.v31i2.83998

* تاریخ دریافت مقاله ۹۸/۸/۸ و تاریخ پذیرش آن ۹۹/۵/۱۳ می‌باشد.

(۱) استاد، گروه مهندسی مکانیک، دانشگاه تبریز، تبریز.

Email: tohidadibi@ubonab.ac.ir

(۲) نویسنده مسئول، استادیار، گروه مهندسی مکانیک، دانشگاه بناب، بناب.

(۳) کارشناسی ارشد، دانشکده‌ی مهندسی مکانیک، دانشگاه تبریز، تبریز.

مقدمه

مطالعه جریان سیال و انتقال گرما بر روی اجسام مختلف کاربرد وسیعی در صنایع مهندسی نظیر مبدل‌های گرمایی، پایه‌های پل‌ها، ساختمان‌سازی و لوله‌های راکتورهای هسته‌ای دارد. در عبور جریان خارجی از روی اجسام مختلف بعد از جدایش، ناحیه‌ای به نام دنباله به وجود می‌آید که باعث نوسان نیروها شده و بر اکثر پارامترهای جریان تأثیر می‌گذارد. لذا کنترل نقطه جدایش و دنباله از اهمیت زیادی برخوردار است.

آرایش متوالی استوانه‌ها جز مثال‌های اساسی و پایه برای این‌گونه مسائل است که در دهه‌های اخیر مورد توجه بسیاری از پژوهشگران قرار گرفته است. وجود یک مفتول یا استوانه در بالادست استوانه دیگر در حالت‌های ساکن و نوسانی بر ناحیه دنباله پشت استوانه، نقطه جدایش، پدیده ریزش گردابه‌ها و تشکیل خیابان‌های کارمن (Karmam vortex street) اثر می‌گذارد و از این رو باعث تغییر در نیروهای وارده از طرف سیال و همچنین انتقال گرما از استوانه و در حالت کلی باعث تغییر در الگوهای گرما-شاره اطراف آن می‌شود. مطالعات انجام گرفته در سال‌های اخیر حاکی از آن است که در حالت ساکن، فاصله نسبی دو سیلندر، قطر نسبی آنها و همچنین عدد رینولدز و در حالت ناپایا، دامنه و فرکانس نوسان از پارامترهای تأثیرگذار محسوب می‌شوند.

جریان تراکم ناپذیر حول استوانه همراه با انتقال گرما در مطالعات مختلفی به صورت عددی و تجربی بررسی شده است [1,2]. با توجه به ویژگی‌های جریان اطراف استوانه همراه با انتقال گرما، این جریان عنوان جریان محک نیز مورد توجه پژوهشگران بوده است [3]. بهروزی و همکاران [4] جریان تراکم ناپذیر همراه با انتقال گرما روی استوانه را به صورت تجربی بررسی کردند. اثر یخزدگی جدار روی خصوصیات گرمایی جریان بررسی شده است. سایه‌وند و بصیری [5] جریان تراکم ناپذیر همراه با انتقال گرما را در جریان

اطراف استوانه به صورت عددی بررسی کردند. آنها برای افزایش نرخ انتقال گرما از نانوسیال استفاده کردند. کاهش نیروی پسای وارد بر استوانه نیز از اهمیت ویژه‌ای برخوردار است که پژوهشگران مختلفی در این زمینه کار کردند. ادیبی کاهش نیروی پسا با استفاده از یخزدگی جدار را به صورت تجربی مورد مطالعه قرار داد [6]. انتظاری و همکاران در مطالعه تجربی دیگری راهکارهایی برای کاهش نیروی پسای پوسته‌ای ارائه کردند [7]. عالم و همکاران [8] به صورت تجربی در جریان متلاطم با هدف کاهش نیروهای جریان وارد بر استوانه تنها و دو استوانه در دو حالت متوالی و کنار هم میله‌های متحرک را در بالادست جریان مقابل آنها نصب کردند مطالعه جریان در عدد رینولدز 55×10^4 انجام گرفت. موقعیت زاویه‌ای میله‌های متحرک بین 20° و 60° درجه در نظر گرفته شده بود. نتایج مشاهدات برای استوانه تنها این گونه بود که ماکزیمم کاهش برای نیروی پسا به اندازه 67% و در زاویه 30° درجه اتفاق می‌افتد. همچنین بیشترین کاهش برای نوسانات نیروهای پسا و برا برای این استوانه به ترتیب 61% و 87% است. برای حالت سوم یعنی حالتی که دو استوانه در کنار هم قرار گرفته بودند هم کاهش قابل توجه برای نیروهای پسا و برا و همچنین نوسانات این نیروها مشاهده شد و در حالتی که فاصله دو استوانه $0/1$ برابر قطر استوانه بود نیروی برای منفی برای استوانه‌ها اتفاق افتاد.

ژن و همکاران [9] به صورت عددی و با الگوریتم سیمپل جریان حول یک استوانه را با وجود مفتول کنترل‌گر در بالادست آن در اعداد رینولدز کم بررسی کردند، نتایج حاصله بیان‌گر این موضوع بود که نیروهای وارد بر استوانه در اثر وجود مفتول‌ها کاهش می‌یابند به ویژه در رژیم جریان حبایی و در قطرهای نسبی $0/3$ و $0/5$. همچنین وجود جفت‌های گردابه در فاصله بین مفتول و استوانه باعث کاهش فشار در سطح رو به جریان سیلندر گردید.

4D و قطر نسبی سیلندر بالادست را دو محدوده 1/8 و D در نظر گرفتند (D قطر استوانه پایین دست است). بر اساس این تحقیق وقتی فاصله نسبی بین دو استوانه بزرگ باشد فعل و انفعالات بین دو استوانه ضعیف خواهد بود ولی وقتی به اندازه کافی کوچک باشد، گردابه های ناشی از هر دو استوانه در هم غوطه ور شده و دو استوانه همانند یک استوانه واحد عمل می کنند. همچنین در حالت کلی فرکانس ریزش گردابه برای استوانه پایین دست کوچک تر از حالت استوانه تنها است. عدد استروهمال برای فواصل نسبی 2/5 تا 3 و برای قطرهای نسبی 0/5، 0/7 و 1 با افزایش فاصله به تدریج افزایش می یابد. ضرایب پسا و برا هم این ویژگی را دارند.

ماهیر و همکاران [13] الگوهای گرما-شاره را بر روی دو استوانه موازی با قطرهای غیر یکسان در دو عدد رینولدز 100 و 200 بررسی و تحلیل کرده و تأثیرات سه پارامتر قطر نسبی دو استوانه، فاصله و عدد رینولدز را بر ضرایب برا، پسا، عدد استروهمال و عدد نوسلت به دست آوردند. بررسی نیروهای هیدرودینامیکی جریان و میزان انتقال گرما نسبت به فاصله نشان داد که در موقعیت مکانی خاص به علت تغییر الگوی جریان یک پرش در نمودار نیروها و عدد نوسلت وجود دارد. عدد استروهمال بر اثر وجود استوانه در بالادست مقدار کوچک تری را نشان می دهد و با افزایش قطر استوانه بالادست کاهش می یابد. همچنین بررسی تغییرات عدد نوسلت نسبت به قطر نسبی در یک فاصله مکانی ثابت حاکی از آن است که با کاهش قطر استوانه بالادست میزان انتقال گرما افزایش می یابد ولی افزایش قطر به علت ایجاد ناحیه سکون وسیع در جلوی استوانه پایین دست و در نتیجه کاهش گرادیان دما در آن ناحیه موجب کاهش انتقال گرما از آن می شود. با افزایش بیشتر فاصله بین دو استوانه، انتقال گرمای استوانه همانند استوانه تنها عمل می کند.

رضوی و همکاران [14] تأثیر حضور مفتول دایره ای چسبیده به استوانه را در مقایسه با استوانه بدون مفتول

جونکو [10] به صورت عددی و با روش اختلاف محدود مرتبه بالا به بررسی و تحلیل انتقال گرما اجباری در جریان پایا، متقارن و ویسکوز بر روی دو استوانه هم قطر با خصوصیات فیزیکی یکسان پرداخت. شبیه سازی عددی در مختصات دو قطبی استوانه ای انجام گرفت. برای گسسته سازی جملات غیر خطی معادلات ناویر استوکس، از روش اختلاف محدود مرتبه بالا و برای حل معادلات گسسته سازی شده از الگوریتم تکرارکننده استفاده شد. محدوده عدد رینولدز برای این مطالعه بین 1 تا 30 بود و مقادیر عدد پرائتل عبارت بودند از 0/1، 1، 10 و 100. بیشتر تمرکز این مطالعه روی تأثیرات Pr.Re بر میزان انتقال گرما با مقادیر مختلف ظرفیت گرمایی بود. اثرات خارجی بر لبه جلویی استوانه ها بیشتر از لبه های پشت آنها بود که این اختلاف با افزایش عدد رینولدز بیشتر می شد. ضریب پسا برای هر دو استوانه کمتر از حالت استوانه تنها بود. ماهیر و همکاران [11] به صورت عددی و با روش حجم محدود، انتقال گرمای ناپایا را در جریان آرام با اعداد رینولدز 100 و 200 بر روی دو استوانه با ارایش موازی بررسی کردند. محاسبات و شبیه سازی توسط نرم افزار فلوئنت (Fluent) انجام گردید. سیال مورد مطالعه هوا و فاصله دو استوانه به ترتیب 2، 3، 4، 5، 7 و 10 برابر قطر استوانه ها بود. پارامترهای جریان نظیر نیروهای پسا، برا و عدد استروهمال محاسبه و با داده های موجود در مقالات قبلی مقایسه گردید. در اعداد رینولدز بالا، برای عدد نوسلت محلی حول استوانه دو پرش مشاهده شد. برای حالت $L/D > 4$ مقدار میانگین عدد نوسلت تقریباً برابر با عدد نوسلت استوانه تنها بود که در این حالت انتقال گرما از استوانه پایین دست تقریباً 80٪ استوانه بالادست گزارش شد.

ونگ و همکاران [12] یک مطالعه عددی را به روش اختلاف محدود در مورد جریان بر روی دو استوانه در آرایش موازی، در اعداد رینولدز 100 و 150 انجام دادند. آنها فاصله نسبی بین دو استوانه را در محدوده 1/8 و

در محدوده فاصله $L/D > 1/5$ مورد بررسی قرار گرفت که فاصله بحرانی بین دو استوانه بین $3/5$ تا 4 به دست آمد. سپس جریان بر روی استوانه ساکن تحت تأثیر استوانه نوسان کننده در بالادست و در راستای طولی تحلیل شد. فاصله دو استوانه $L/D=2$ ، عدد رینولدز 100 و دامنه نوسان (A/D) طبق مطالعات قبلی $0/3$ در نظر گرفته شد. همچنین فرکانس نسبی $(F=f/f_s)$ از $1/5$ تا 7 تغییر می کرد.

معادلات حاکم و روش حل

معادلات حاکم بر مسأله با فرض جریان لایه ای، تراکم ناپذیر، دوبعدی و لزج، به شرح زیر است:

$$\frac{\partial u}{\partial x} + \frac{\partial v}{\partial y} = 0$$

$$\frac{\partial u}{\partial t} + u \frac{\partial u}{\partial x} + v \frac{\partial u}{\partial y} = -\frac{1}{\rho} \frac{dp}{dx} + \nu \left(\frac{\partial^2 u}{\partial x^2} + \frac{\partial^2 u}{\partial y^2} \right)$$

$$\frac{\partial v}{\partial t} + u \frac{\partial v}{\partial x} + v \frac{\partial v}{\partial y} = -\frac{1}{\rho} \frac{dp}{dy} + \nu \left(\frac{\partial^2 v}{\partial x^2} + \frac{\partial^2 v}{\partial y^2} \right)$$

$$\frac{\partial T}{\partial t} + u \frac{\partial T}{\partial x} + v \frac{\partial T}{\partial y} = \alpha \left(\frac{\partial^2 T}{\partial x^2} + \frac{\partial^2 T}{\partial y^2} \right)$$

در این مسأله دو عدد رینولدز مطرح است:

(۱) بر مبنای قطر استوانه: $Re_D = \frac{U_i D}{\nu}$ که برابر 100 است.

(۲) بر مبنای ارتفاع کانال: $Re_H = \frac{U_i H}{\nu}$ که برابر 2000 است.

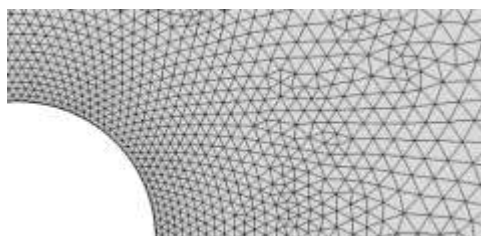
لذا در هر حالتی جریان آرام است. در قسمت پایانی مقاله، جریان بر روی استوانه تحت تأثیر مفتول در بالادست جریان با قطر نسبی $0/3$ و فاصله نسبی 3 تا استوانه بررسی می شود. در این حالت مفتول دارای حرکت عرضی بوده و معادله حرکت آن به صورت زیر است:

$$Y(t) = A \sin(2\pi f_0 t) \quad (1)$$

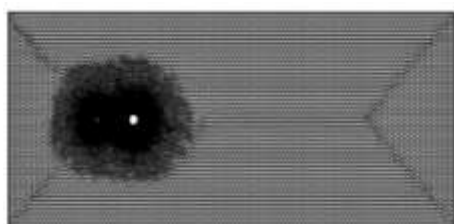
که A دامنه نوسان و برابر $0/25D$ و f_0 فرکانس

روی پارامترهای ضریب پسا و انتقال گرما در گستره زاویه 0 تا 180 درجه نسبت به نقطه سکون بررسی کردند و دریافتند که افزودن مفتول تا موقعیت 90 درجه موجب کاهش انتقال گرما نسبت به استوانه ساده می شود اما بعد از این زاویه انتقال گرما نسبت به حالت ساده افزایش می یابد. همچنین با کاهش عدد رینولدز تأثیر افزودن مفتول بیشتر می گردد. باو و همکاران [15] جریان بر روی یک استوانه را با وجود استوانه دیگر در بالادست که تحت ارتعاش اجباری در راستای عرضی قرار داشت در عدد رینولدز 100 تحلیل و تأثیرات فاصله، فرکانس و دامنه را بر الگوهای گرما-شاره بررسی کردند. طبق تحقیقات، نوسان استوانه با دامنه کم، تغییرات زیادی را نسبت به حالت استوانه ساکن به وجود می آورد. برای جریان عبوری از روی دو استوانه ساکن سه الگو برحسب فاصله به وجود آمد. مشاهده شد که گذر از حالت توقف ریزش گردابه (VS(vortex shedding) Flow) به حالت تشکیل گردابه (VF(vortex suppressing) Flow) به علت نوسان اجباری استوانه بالادست زودتر اتفاق می افتد. برای حالت $F=1$ گردابه ها در $L/D=3-2/5$ نمایان شده و در $L/D>3.5$ ریزش گردابه ها شروع می شود. ناحیه گذار $2/5-2$ است که برای استوانه تنها در $3/5-3$ رخ می دهد. آنالیز طیفی نیروی برا بیانگر این موضوع است که برای فرکانس های القایی که در محدوده قفل شدگی قرار دارند، یک قله و در سایر فرکانس ها بیش از یک قله وجود دارد. نیروهای برا و پسا در حالت کلی نسبت به حالت دو استوانه ثابت مقادیر بزرگ تری را دارا می باشند. (مخصوصاً در ناحیه قفل). برای استوانه پایین با افزایش فاصله و فرکانس القایی مقادیر این نیروها شبیه حالت استوانه ساکن است. فو و همکاران [16] جریان بر روی استوانه را تحت تأثیر استوانه بالادست که تحت ارتعاشات اجباری در راستای طولی قرار داشت تحلیل کردند. ابتدا نتایج برای یک استوانه تنها و ساکن اعتبار سنجی شد و سپس حالت دو استوانه موازی در حالت ساکن و

شبکه‌های مختلف بر ضریب پسای استوانه اصلی تحت تأثیر مفتول کنترل‌گر در حالت خاص $d/D=0.3$ ، $L/D=4$ و عدد رینولدز ۱۰۰ بررسی می‌شود. بدین منظور ۸ شبکه با ابعاد مختلف با ترکیبی از شبکه‌های با سازمان و بی‌سازمان مورد استفاده قرار می‌گیرد. برای دقت بیشتر، تعداد شبکه‌ها در اطراف استوانه به اندازه کافی ریز در نظر گرفته شده است. نتایج حاصل از تعداد شبکه‌ها بر ضریب پسای استوانه اصلی در شکل (۳) نمایش داده شده است.

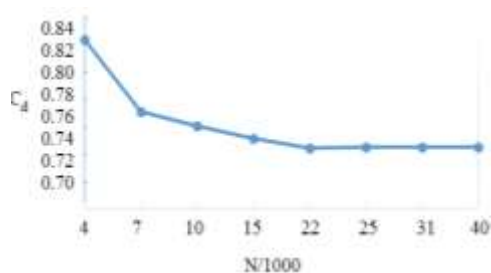


(الف)



(ب)

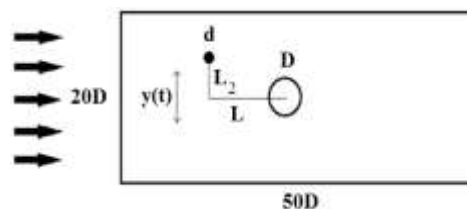
شکل (۲): شبکه‌بندی برای $d/D=0.3$ و $L/D=3$; (الف) اطراف استوانه، (ب) کل کانال



شکل (۳): ضریب پسای متوسط استوانه در شبکه‌بندی‌های مختلف

ملاحظه می‌شود که نتایج ضریب پسا پس از تعداد ۲۲۸۶۸ شبکه تغییر قابل توجهی ندارد لذا این شبکه

نوسان اجباری مفتول و t هم‌زمان است. در این تحقیق جریان سیال بر روی یک استوانه مدنظر است که در بالادست آن یک مفتول یا استوانه دایروی قرار گرفته است. استوانه و مفتول در داخل یک کانال به ارتفاع $20D$ و طول $50D$ قرار دارند. فاصله مفتول از ورودی کانال $10D$ است که به فاصله L از استوانه اصلی در بالادست جریان قرار دارد. (شکل ۱)، مقادیر L در قسمت‌های مختلف این پژوهش از $1/5D$ تا $8D$ متغیر است. هم مفتول و هم استوانه به فواصل مساوی $10D$ از مرز بالا و پایینی کانال قرار گرفته‌اند. مبدأ مختصات در روی ورودی کانال و وسط آن قرار دارد.



شکل (۱): هندسه مسئله مورد مطالعه

جریان به صورت افقی از ورودی کانال وارد شده و از انتهای آن خارج می‌گردد. در ورودی، سرعت یکنواخت $u=U_i$ ، دمای یکنواخت $T=T_i$ ، در دیواره بالا و پایین کانال، $u=U_i$ و $v=0$ و $T=T_i$ ، در استوانه $\frac{\partial T}{\partial n} = 0$ ، $u=v=0$ (دیواره عایق)، در دیواره مفتول $\frac{\partial u}{\partial x} = \frac{\partial v}{\partial x} = 0$ (دما ثابت) و در خروجی: $T=T_w$ ، $u=v=0$ برقرار است که در آن n بردار نرمال دیواره و U_i و T_i به ترتیب سرعت و دمای جریان آزاد در ورودی می‌باشند. شبکه‌بندی مورد استفاده در این مطالعه مجموعه‌ای از شبکه‌های سازمان‌یافته و بی‌سازمان می‌باشند که به شکل مثلثی در نظر گرفته شده‌اند. این شبکه‌بندی در اطراف استوانه دارای نرخ رشد بوده و به اندازه کافی ریز در نظر گرفته شده‌اند ولی در سایر نقاط به صورت یکنواخت است. شکل (۲) شبکه‌بندی مذکور را در به ترتیب در نزدیکی استوانه و کل کانال نشان می‌دهد. برای بررسی نتایج استقلال از شبکه، تأثیر

لذا گام زمانی ۰/۰۵ به عنوان گام مورد استفاده در این پژوهش انتخاب می شود.

برای اعتبار سنجی پژوهش حاضر، نتایج به دست آمده از ضریب پسا و عدد نوسلت میانگین استوانه برای جریان بر روی یک استوانه با وجود مفتول کنترل گر در فاصله $L/D=0/5$ و قطر $d/D=0/3$ با نتایج حاصل از ونگ [12] و ماهیر [13] مقایسه شد. نتایج حاصل بدین صورت است:

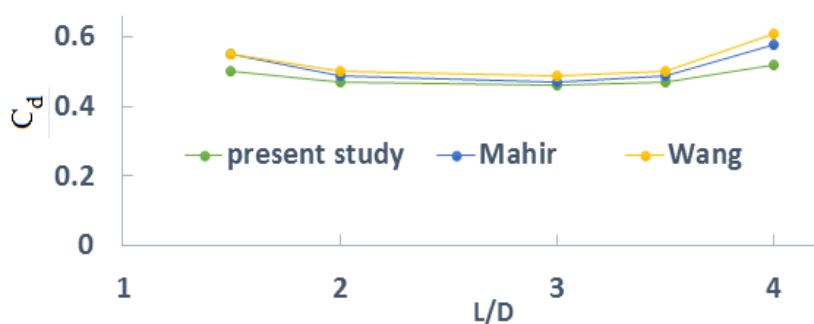
از مقایسه نتایج پژوهش حاضر با نتایج حاصل از مقالات قبلی، مشاهده می شود که تطابق خوبی بین آنها برقرار است.

به عنوان شبکه مورد استفاده انتخاب می شود. برای بررسی استقلال نتایج از گام زمانی، تأثیر نوسان عرضی یک استوانه هم قطر با استوانه اصلی، در فاصله $L/D=3$ و فرکانس نسبی $F=1$ (منظور از فرکانس نسبی، نسبت فرکانس تحریک استوانه به فرکانس تشکیل گردابه های پشت استوانه در حالت ساکن است). بر ضریب پسا، عدد استروهال و همچنین میزان انتقال گرما از استوانه در عدد رینولدز ۱۰۰ انجام گرفته است. دامنه نوسان استوانه کمی برابر $0/25D$ است. نتایج حاصل در جدول (۱) آورده شده است. شایان یادآوری است که گام زمانی به صورت نسبی در نظر گرفته شده است. $(\Delta t = \Delta T \cdot U_i / D)$

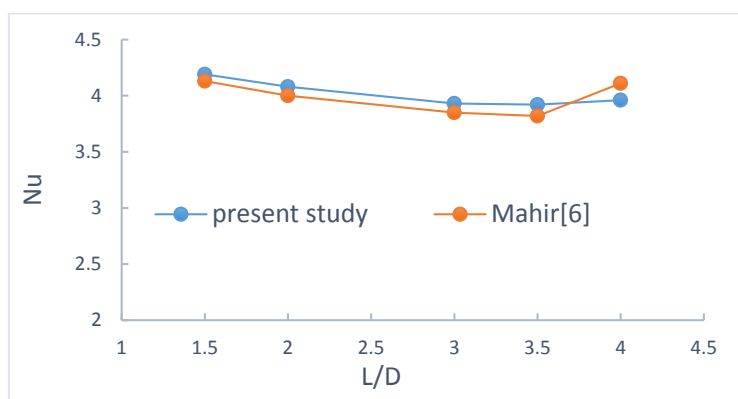
با توجه به داده های جدول، با کاهش گام زمانی از ۰/۰۵ به ۰/۰۱، نتایج حاصل تغییر چندانی پیدا نمی کنند.

جدول (۱): نتایج استقلال از گام زمانی

Δt	Cd	Nu	St
۰/۱	۰/۷۵	۴/۹	۰/۱۵۱
۰/۰۵	۰/۶۷۵	۴/۹۹	۰/۱۵۵
۰/۰۱	۰/۶۷۴	۵/۰۱	۰/۱۵۵



شکل (۴): مقایسه نتایج به دست آمده در این مقاله با نتایج ونگ [12] و ماهیر [13] (ضریب پسای متوسط استوانه با وجود مفتول کنترل گر در فاصله نسبی ۳ و قطر نسبی ۰/۵ و $Re=100$)



شکل (۵): مقایسه عدد نوسلت متوسط استوانه با وجود مفتول کنترل‌گر در فاصله نسبی ۳ و قطر نسبی ۰/۵ و $Re = 100$

نتایج و بحث

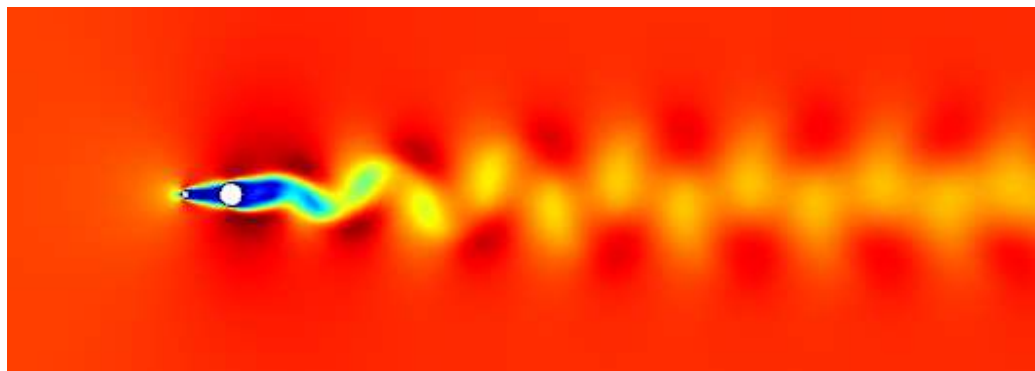
هدف اصلی در این تحقیق، بررسی میزان انتقال گرما در جریان ناپایا بر روی استوانه تحت تأثیر یک مفتول کنترل‌گر است. این مفتول در فواصل مختلف نسبت به استوانه اصلی قرار دارد و قطر نسبی آن در محدوده خاصی متغیر است و وجود آن در وضعیت‌های مختلف باعث تغییر در الگوهای گرما-شاره و همچنین گردابه‌های پشت استوانه می‌شود. برای یافتن مقدار بهینه برای انتقال گرما و ضریب پسای استوانه، مقدار یک متغیر ثابت فرض شده و تأثیر سایر متغیرها بر روی آن بررسی می‌شود. در این تحقیق، عدد رینولدز نسبت به قطر استوانه اصلی برابر ۱۰۰ در نظر گرفته شده است.

نتایج برای تغییر موقعیت افقی مفتول

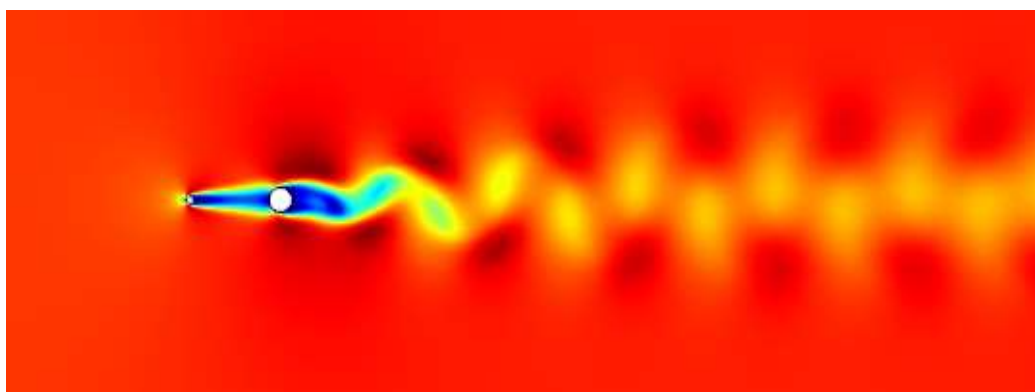
در این بخش یک مفتول با قطر کوچک‌تر از استوانه در بالادست آن قرار گرفته و تأثیر آن در فواصل طولی ۲ تا ۸ نسبت به قطر استوانه بر الگوهای گرما-شاره بررسی می‌شود. قطر مفتول برابر $0.3D$ است. با توجه به شکل (۶) ملاحظه می‌شود که وقتی قطر نسبی مفتول نسبت به استوانه 0.3 است، با گذر جریان بر روی مفتول در پشت آن دو دنباله به صورت تقارن نسبت به خط مرکزی به وجود می‌آید و تا سطح جلویی استوانه کشیده می‌شود و با افزایش فاصله مفتول و استوانه فقط طول دنباله به وجود آمده بیشتر شده و کشیده‌تر می‌شود و برخلاف

حالت جریان بر روی دو استوانه هم‌قطر، در هیچ فاصله‌ای ریزش گردابه‌ای بین مفتول و استوانه مشاهده نمی‌شود، به عبارتی دیگر، در این حالت برحسب فاصله مفتول و استوانه، فاصله بحرانی وجود ندارد (با توجه به مطالعات ماهیر [11] در جریان بر روی دو استوانه موازی هم‌قطر، یک فاصله بحرانی وجود دارد که بعد از آن در فضای بین استوانه و مفتول ریزش گردابه‌ها شروع شده و الگوی جریان تغییر می‌یابد. در نتیجه این تغییر الگو، مقادیر نیروهای هیدرو...۰۰۰۰۰۰۰۰ رودینامیکی وارد بر استوانه و همچنین میزان انتقال حرارت از آن به صورت ناگهانی افزایش می‌یابد). همچنین با افزایش فاصله عمودی مفتول از محور افقی، ناحیه سکون در سطح جلوی کاهش یافته و نقطه جدایش نیز تغییر می‌یابد. لذا اختلاف فشار دو طرف استوانه افزایش یافته و باعث افزایش نیروی پسای وارد بر آن می‌شود (شکل ۷).

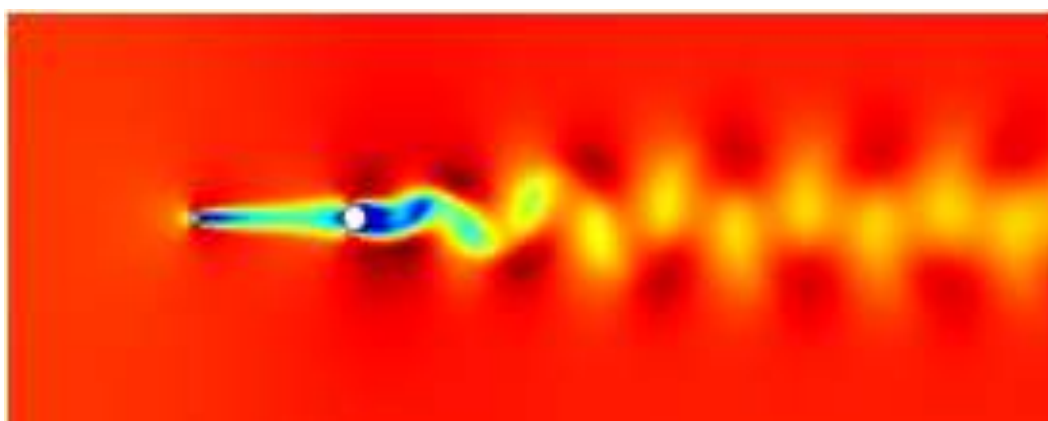
شکل‌های (۸) و (۹) به ترتیب تغییرات ضریب پسای و عدد نوسلت استوانه را در حالت $d/D=0.3$ برحسب فاصله افقی استوانه و مفتول نشان می‌دهد. همچنین شکل‌های (۱۰) و (۱۱) به ترتیب تغییرات ضریب پسای و عدد نوسلت استوانه را در حالت $d/D=0.3$ برحسب فاصله عمودی استوانه و مفتول نشان می‌دهد.



$L/D=2$

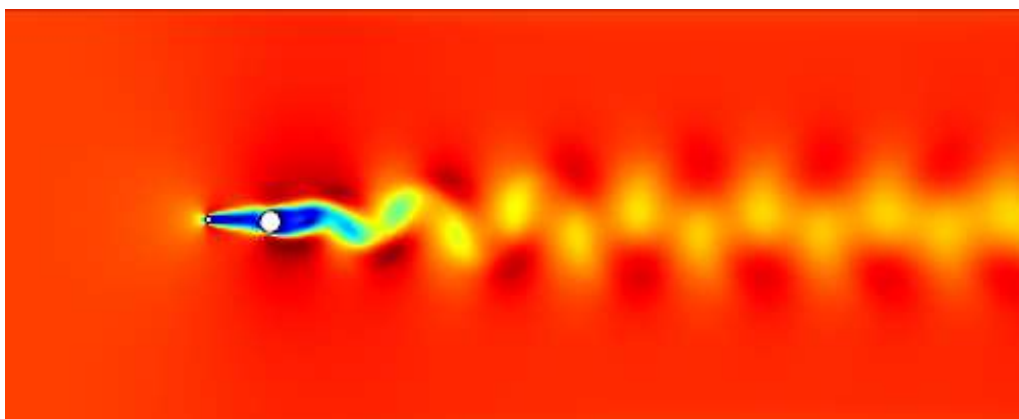


$L/D=4$

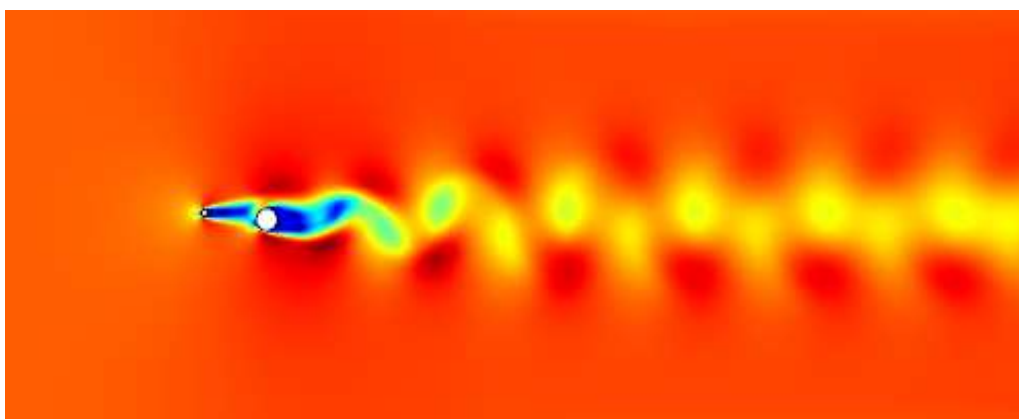


$L/D=8$

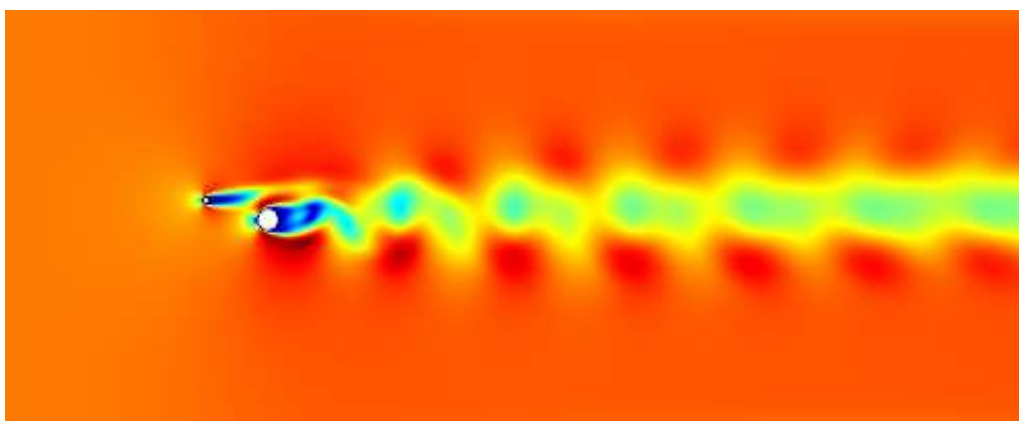
شکل (۶): کانتورهای سرعت جریان با وجود مفتول در بالادست برحسب فاصله افقی مفتول با قطر نسبی $0/3$ در $Re = 100$



$L_2/D=0.1$

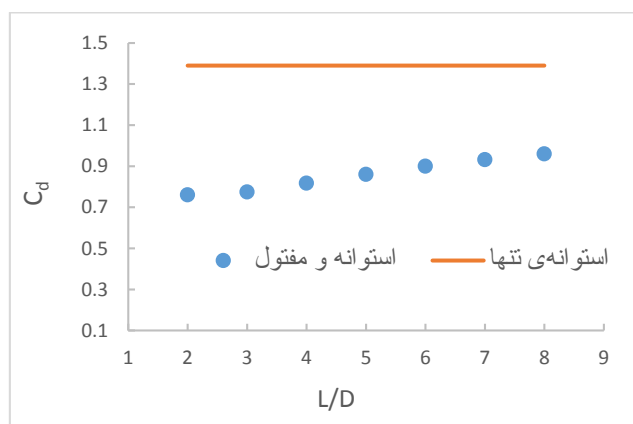


$L_2/D=0.5$

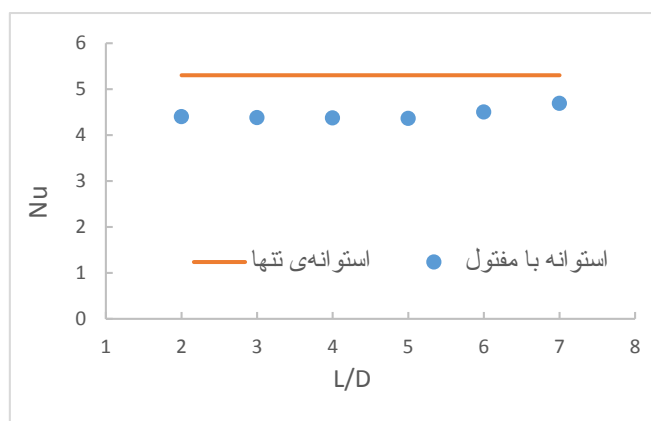


$L_2/D=0.9$

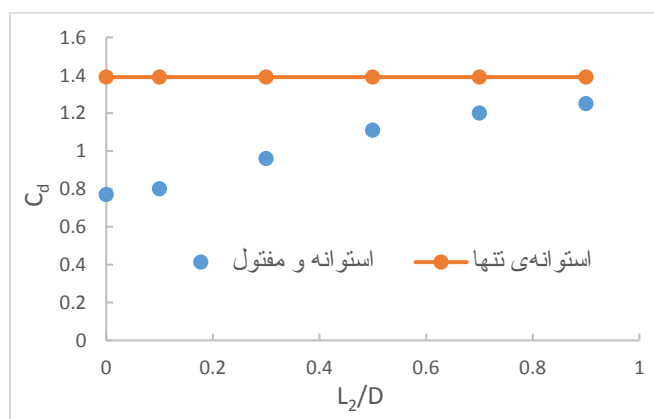
شکل (۷): کانتورهای سرعت جریان با وجود مفتول در بالادست برحسب فاصله افقی مفتول با قطر نسبی 0.3 در $Re = 100$



شکل (۸): نیروی پسای جریان بر روی استوانه و مفتول با قطر $0.3D$ برحسب فاصله افقی در $Re = 100$



شکل (۹): عدد نوسلت جریان بر روی استوانه و مفتول با قطر $0.3D$ برحسب فاصله افقی در $Re = 100$



شکل (۱۰): تغییرات نیروی پسای استوانه تحت تأثیر مفتول کنترل‌گر با قطر $0.3D$ و در فاصله افقی $3D$ برحسب فاصله عمودی آن از محور افقی در $Re = 100$



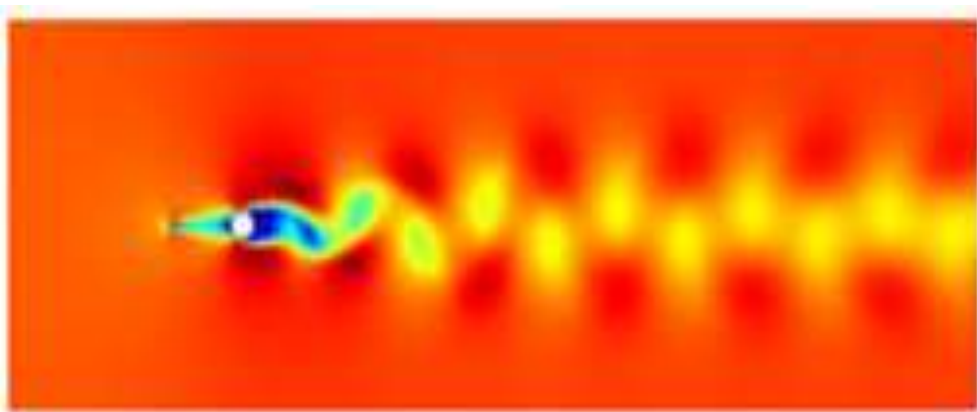
شکل (۱۱): تغییرات عدد نوسلت استوانه تحت تأثیر مفتول کنترل‌گر با قطر $0.3D$ و در فاصله افقی $3D$ برحسب فاصله عمودی آن از محور افقی در $Re = 100$

می‌باشند وسیع‌تر شده و بعد از چسبیدن به هم در فاصله بین استوانه و مفتول، به سطح جلویی استوانه برخورد کرده و تشکیل یک ناحیه شبه‌سکون را در جلوی استوانه می‌دهند و سپس رشد لایه مرزی بر روی استوانه شروع می‌شود که با افزایش نسبت d/D این ناحیه بزرگ‌تر شده و رشد لایه مرزی دیرتر شروع می‌شود. سپس در پشت استوانه خیابان‌های کارمن تولید شده و بعد از آن پدیده ریزش گردابه شروع می‌شود. همچنین با افزایش نسبت d/D ، خیابان‌های ورتکس کارمن در پشت استوانه تا طول بیش‌تری امتداد می‌یابند. در واقع با کاهش نسبت قطر مفتول به استوانه، دنباله حاصل از عبور جریان بر روی مفتول باریک‌تر شده و به عبارتی اثرات وجود مفتول بر الگوهای گرما-شاره استوانه کمتر می‌شود. در جریان بر روی استوانه و مفتول هم در حالت‌های $d/D=0.1$ و $d/D=0.3$ در اطراف مفتول خطوط ایزوترم مشاهده نمی‌شود ولی با افزایش نسبت d/D ، این خطوط نمایان می‌شوند و این به معنی وجود انتقال گرما در آن قسمت است. تغییرات مقادیر نیروی پسا و عدد نوسلت برحسب قطر مفتول در شکل‌های (۱۵) و (۱۶) نشان داده شده است.

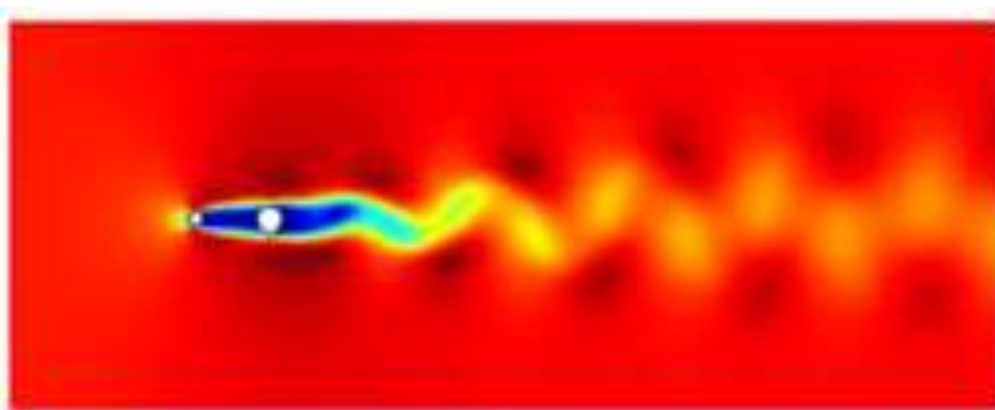
ملاحظه می‌شود که با افزایش فاصله، ضریب پسای استوانه به‌طور آهسته بیش‌تر می‌شود. در شکل بالا، هیچ پرش ناگهانی مشاهده نمی‌شود و تغییرات مقادیر پارامترها برحسب فاصله استوانه و مفتول ملایم است. ملاحظه می‌شود که با افزایش فاصله عمودی مفتول از محور افقی، هم ضریب پسا و هم عدد نوسلت افزایش یافته و به مقادیر جریان بر روی استوانه تنها نزدیک‌تر می‌شوند ولی در حالت کلی وجود مفتول در این حالت باعث کاهش در ضرایب پسا و عدد نوسلت استوانه می‌شود.

تأثیر اندازه قطر مفتول بر الگوهای گرما-شاره اطراف استوانه

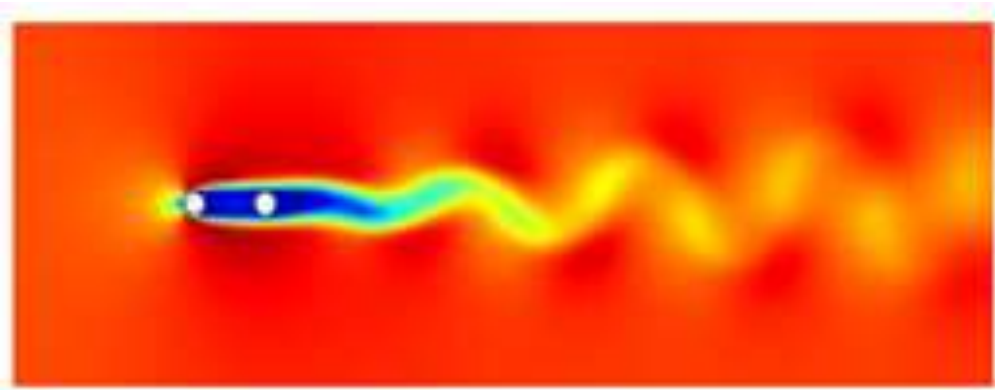
شکل‌های (۱۲) و (۱۳) و (۱۴) کانتورهای سرعت و دما و خطوط جریان بر روی استوانه را در $L/D=0.3$ ، در قطرهای مختلف و در زمان بی‌بعد $150s$ نشان می‌دهند. وقتی $d/D=0.1$ ، دنباله کوچکی در پشت مفتول تولید شده و لایه‌های برشی ایجاد شده تا نزدیکی سطح جلویی استوانه گسترش یافته و در نزدیکی خط مرکزی استوانه به آن می‌چسبند. با بزرگ‌تر شدن نسبت d/D ، دنباله‌های حاصل از مفتول که به‌صورت متقارن نیز



$d/D=0.1$



$d/D=0.5$

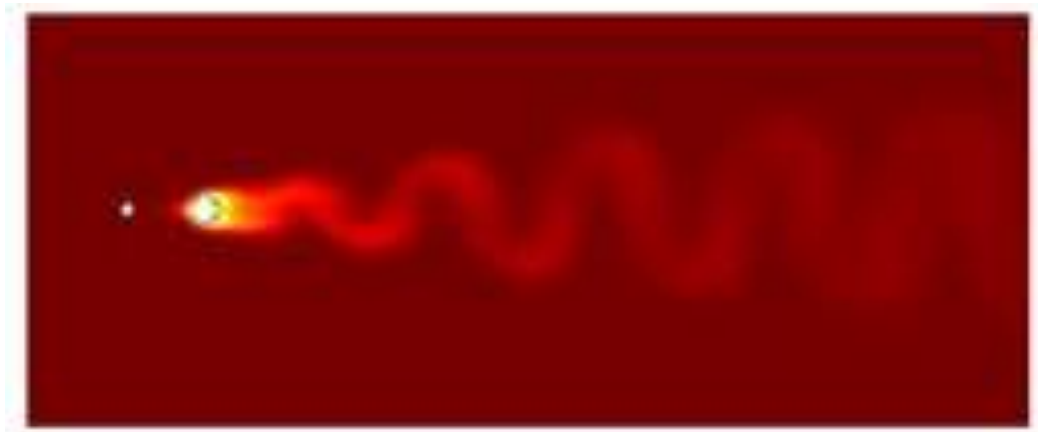


$d/D=0.9$

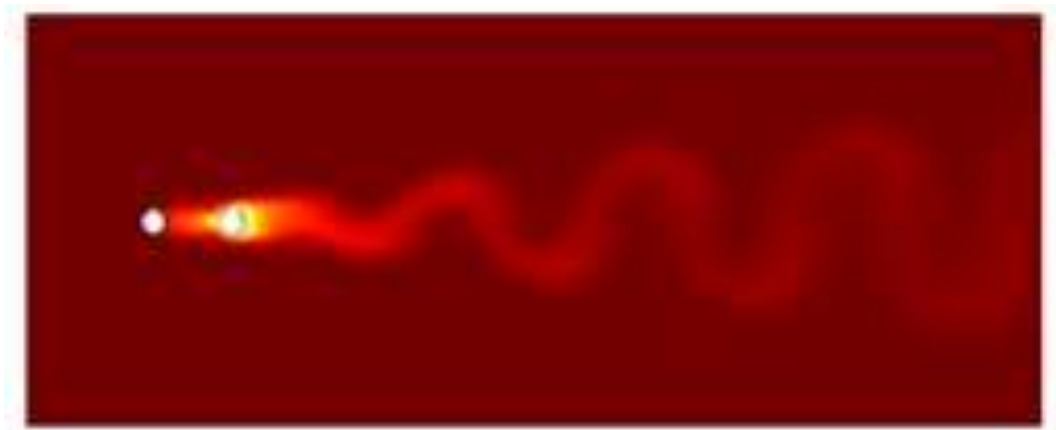
شکل (۱۲): کانتورهای سرعت جریان بر روی استوانه با وجود مفتول کنترل‌گر در قطرهای مختلف نسبت به استوانه در فاصله افقی $3D$ و $Re = 100$



$d/D=0.1$

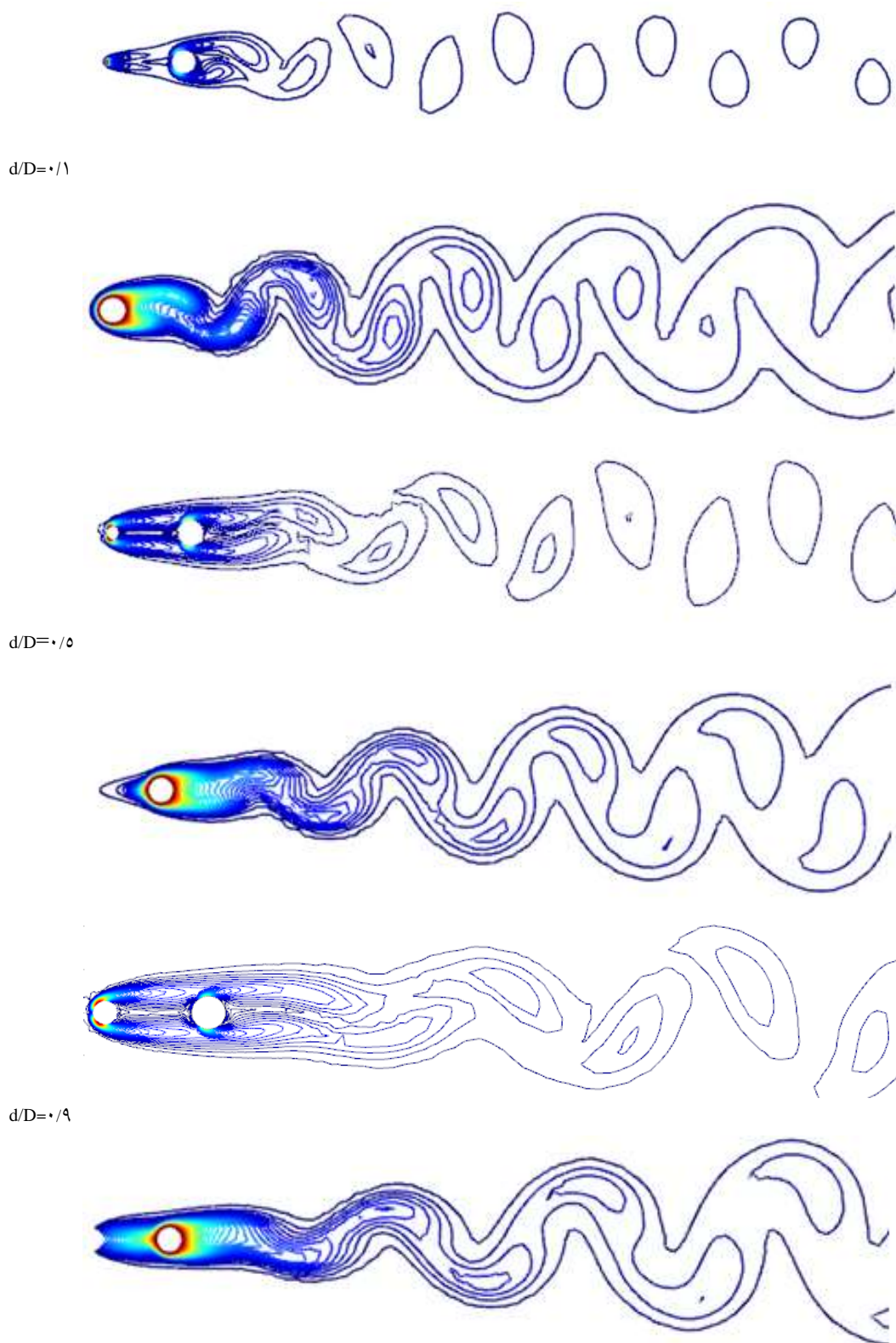


$d/D=0.5$

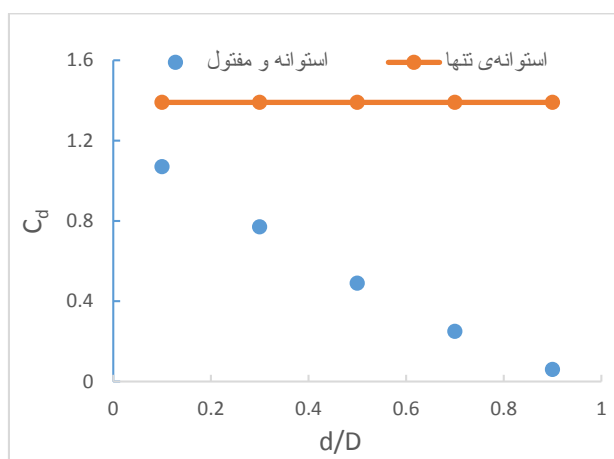


$d/D=0.9$

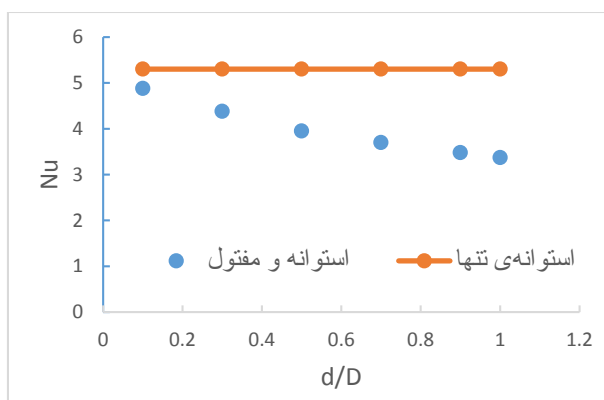
شکل (۱۳): کانتورهای دمای جریان بر روی استوانه با وجود مفتول کنترل گر در قطرهای مختلف نسبت به استوانه در فاصله افقی ۳D و $Re = 100$



شکل (۱۴): کانتورهای گردابه (بالا) و هم‌دمای (پایین) جریان بر روی استوانه با وجود مفتول کنترل‌گر در قطرهای مختلف نسبت به استوانه در فاصله افقی ۳D و $Re = 100$



شکل (۱۵): نیروی پساى استوانه برحسب قطر مفتول در فاصله ۳D در بالادست استوانه و در $Re = 100$



شکل (۱۶): عدد نوسلت استوانه برحسب قطر مفتول در فاصله ۳D در بالادست استوانه و در $Re = 100$

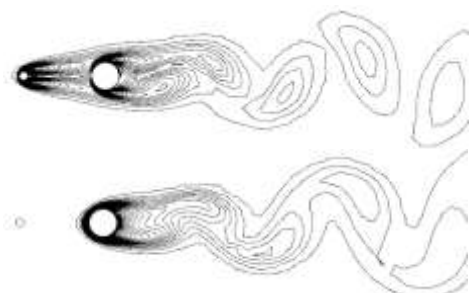
گرمايى بر روى سطح استوانه با افزايش نسبت d/D است.

نتايج جريان بر روى استوانه تحت تأثير نوسان عرضى مفتول در بالادست

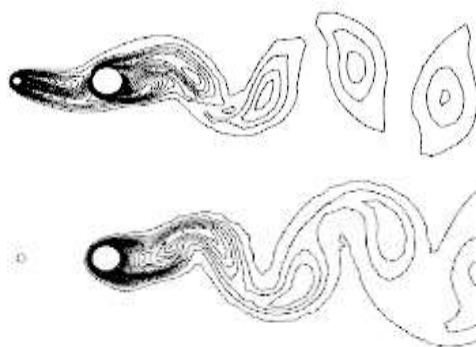
در اين قسمت کنترل فعال جريان از طريق نوسان عرضى اجبارى مفتول در بالادست استوانه ساکن بررسى مى‌شود. قطر مفتول $0.3D$ و فاصله آن تا استوانه $3D$ و دامنه نوسان برابر $0.25D$ است. الگوهاى گرما-شاره و همچنين تغييرات نيروهاى هيدرودينامى و عدد نوسلت استوانه در سه فرکانس نوسان مفتول در حالت‌هاى فروهارمونىک ($F=0.5$)، هارمونىک ($F=1$) و فراهارمونىک ($F=2$) بررسى مى‌شوند.

مشاهده مى‌شود که با افزايش قطر مفتول نسبت به استوانه مقادير ضريب پسا کاهش مى‌يابد که علت آن، افزايش وسعت دنباله حاصل از عبور جريان بر روى مفتول در پشت آن است. حالت $d/D=0.1$ نزديک‌ترين وضعيت به ضريب پساى استوانه تنها است. با بزرگ‌تر شدن قطر مفتول در بالادست، دنباله ناشى از گذر جريان بر روى مفتول در جلوى استوانه بزرگ‌تر شده و باعث مى‌شود اختلاف فشار دو طرف استوانه کاهش يابد و اين به معنى کاهش ضريب پساى فشارى و در حالت کلى ضريب پسا است. همچنين مطالعه تغييرات عدد نوسلت از طريق شکل (۱۶) بيانگر اين موضوع هست که با افزايش قطر مفتول، عدد نوسلت متوسط استوانه کمتر مى‌شود که دليل آن، افزايش ضخامت لايه مرزى

۱ و ۲ ریزش گردابه در بین پشت مفتول مشاهده می‌شود. لذا می‌توان نتیجه گرفت که نوسان مفتول در بالادست باعث می‌شود تغییر الگوی گردابه‌ها از VS به VF زودتر اتفاق بیفتد. مطالعه کانتورهای گردابه در پشت مفتول، به وضوح نشان می‌دهد که با افزایش فرکانس نوسان اجباری، نوسان گردابه‌ها در بین استوانه و مفتول نیز بیشتر می‌شود. همچنین کانتورهای خطوط ایزوترم نشان می‌دهد که در حالت $F=1$ یعنی حالت قفل‌شدگی، تراکم خطوط ایزوترم در اطراف استوانه بیش‌تر است و این به معنی افزایش انتقال گرما از استوانه در این حالت است. کانتورهای خطوط گردابه (بالا) و هم‌دما (پایین) در زمان بی‌بعد $100s$ در شکل (۱۷) نشان داده شده‌اند.



(الف)



(ب)

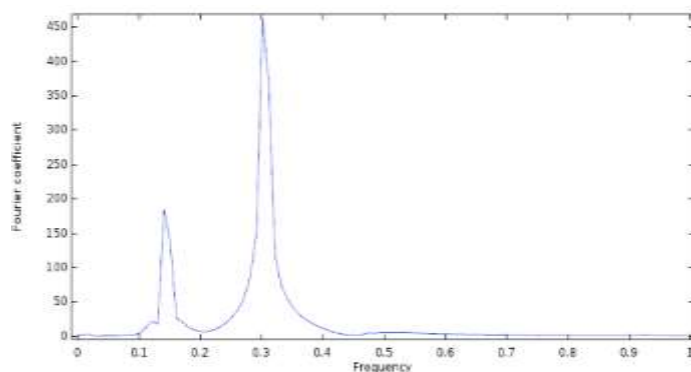
شکل (۱۷): کانتورهای گردابه و هم‌دما در جریان بر روی استوانه و مفتول کنترل‌گر در فاصله و قطر نسبی ۳ و 0.3 و $Re=100$ ؛ (الف) حالت ساکن، (ب) $F=1$

آنالیز طیفی و بررسی سیگنال‌های فرکانسی نیروی برا نشان می‌دهد که در فرکانس‌های 0.5 و 2 دو قله در نمودار مشاهده می‌شود درحالی‌که در فرکانس 1 فقط یک قله وجود دارد (شکل ۱۸).

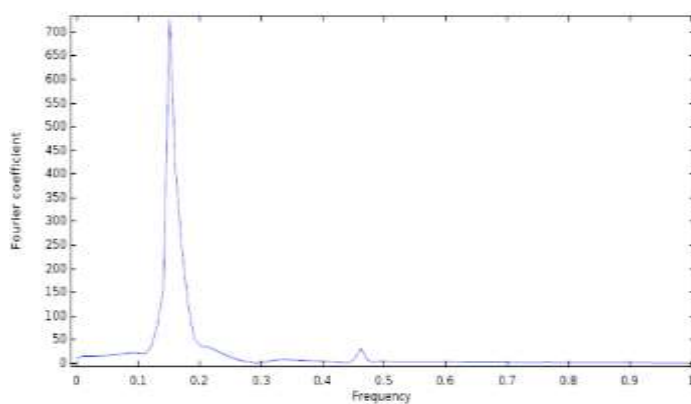
پدیده قفل‌شدگی [15] قفل‌شدگی زمانی به وجود می‌آید که جسمی در مقابل جریان و تحت نوسان اجباری قرار داشته باشد. در این حالت فرکانس تشکیل گردابه‌ها در پشت جسم با فرکانس قابل انتظار متفاوت خواهد بود. در این حالت فرکانس تحریک اجباری جسم بر فرکانس طبیعی تشکیل گردابه‌ها در پشت آن غلبه کرده و بر آن مستولی می‌شود؛ و دو فرکانس باهم برابر می‌شوند. نکته قابل بیان این است که حالت قفل‌شدگی فقط در حالت برابری فرکانس تحریک با فرکانس تشکیل گردابه‌ها اتفاق نمی‌افتد، بلکه در محدوده‌ای خاص در نزدیکی آن نیز برقرار است که به آن محدوده ناحیه قفل‌شدگی می‌گویند، ولی وقتی که اختلاف دو فرکانس زیاد باشد دو فرکانس نمی‌توانند باهم کوپل شوند. سه راه برای تشخیص حالت قفل‌شدگی وجود دارد که عبارت‌اند از:

۱. مشاهده رفتار جریان به صورت تجربی یا عددی: نوسان گردابه‌ها در پشت جسم، به صورت هماهنگ با نوسان اجباری آن اتفاق می‌افتد؛
۲. آنالیز طیفی نیروی برا: در این حالت در نمودار فقط یک قله مشاهده می‌شود؛
۳. مشاهده تغییرات نیروی برا برحسب زمان: در حالت قفل‌شدگی، این نمودار به صورت سینوسی خواهد بود.

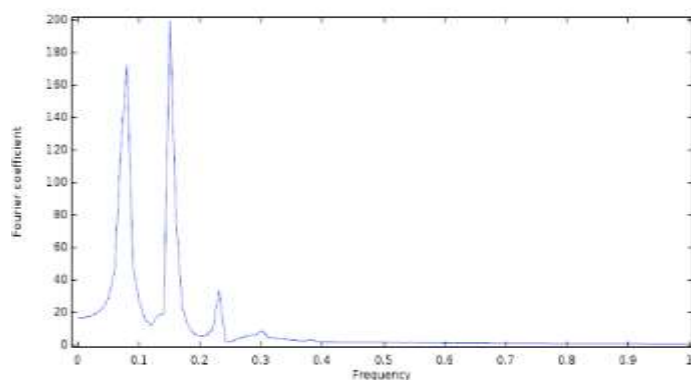
تحقیقات باو و همکاران در مورد جریان بر روی دو استوانه موازی نشان داد که در حالت VS که در فاصله‌های کم دو استوانه رخ می‌دهد، به علت تراکنش زیاد بین گردابه‌های آنها ناحیه قفل بزرگ‌تر از حالت VF است. نوسان مفتول در بالادست باعث می‌شود که تغییر الگوی گردابه‌ها از حالت VS به VF زودتر به وقوع بپیوندد. بررسی کانتورهای گردابه برای جریان بر روی استوانه و مفتول در حالت ساکن نشان می‌دهد که تا فاصله $L/D=8$ هیچ گردابه‌ای در فضای بین استوانه و مفتول تشکیل نمی‌گردد. در واقع برای حالت ذکر شده در حالت ساکن الگوی جریان VF وجود ندارد، اما در حالت نوسان مفتول با دامنه $0.25D$ و فرکانس‌های نسبی 0.5 ،



(الف)



(ب)



(ج)

شکل (۱۸): آنالیز طیفی برا در جریان بر روی استوانه و مفتول کنترل‌گر در بالادست جریان در فاصله و قطر نسبی ۳ و ۰/۳ و $Re = 100$:

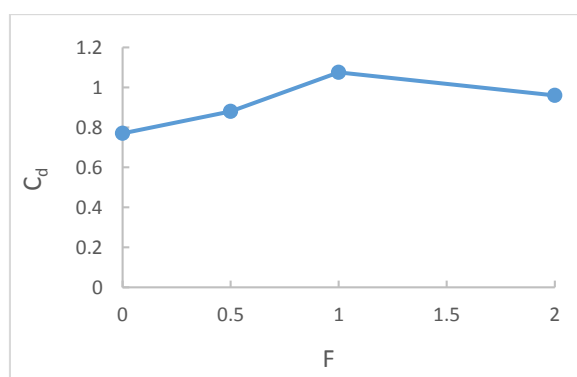
(الف) $F = 0/5$ ، (ب) $F = 1$ ، (ج) $F = 2$

در بالادست استوانه مقادیر نیروها و همچنین عدد نوسلت در حالت کلی نسبت به حالت ساکن افزایش

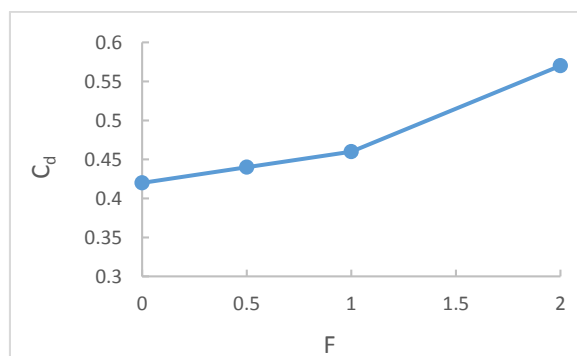
شکل‌های (۱۹) و (۲۱) تغییرات مقادیر ضریب پسا و عدد نوسلت استوانه را نشان می‌دهند. با نوسان مفتول

نتایج حاصل از گذر جریان بر روی مفتول و استوانه در حالت ساکن، بیانگر این است که با نوسان مفتول در بالادست ضریب پسای مفتول نیز افزایش می‌یابد.

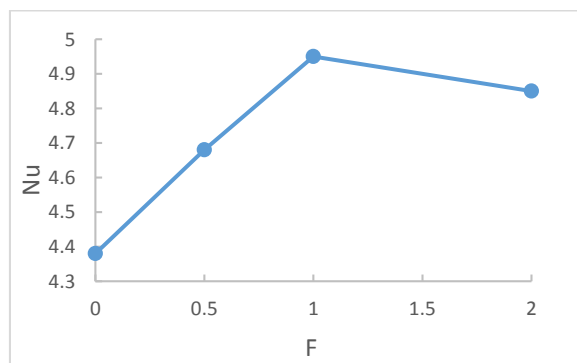
می‌یابد و در حالت قفل یعنی $F=1$ ، به بیشینه مقدار می‌رسند. شکل (۲۰) تغییرات ضریب پسای مفتول را در حالت نوسانی بررسی می‌کند. مقایسه نتایج این شکل با



شکل (۱۹): نیروی پسای استوانه برحسب فرکانس در $Re = 100$



شکل (۲۰): نیروی پسای مفتول بالادست برحسب فرکانس در $Re = 100$



شکل (۲۱): عدد نوسلت استوانه برحسب فرکانس در $Re = 100$

نتیجه گیری

در این مطالعه، تأثیر وجود مفتول کنترل گر بر الگوهای گرما-شاره استوانه در جریان سیال بر روی آن در عدد رینولدز ۱۰۰ بر مبنای قطر استوانه بررسی و تحلیل شد. ۱. نتایج حاصل از جریان بر روی استوانه تحت تأثیر مفتول در بالادست، نشان داد که با افزایش فاصله افقی مفتول کنترل گر با قطر ۰/۳D از استوانه، ضرایب پسا و عدد نوسلت تغییرات ملایمی دارند و هیچ گونه پرش ناگهانی در مقادیر مشاهده نمی شود. با اینکه وجود مفتول در بالادست جریان باعث کاهش ضریب پسا و عدد نوسلت استوانه می شود ولی با افزایش فاصله عمودی مفتول از محور افقی پارامترهای ضریب پسا و عدد نوسلت کمی افزایش یافته و به حالت جریان بر روی استوانه تنها نزدیک تر می شود.

۲. بررسی تأثیرات اندازه قطر مفتول بر پارامترهای گرما-شاره استوانه نشان داد که با افزایش قطر مفتول در موقعیت افقی ثابت، ضریب پسای استوانه کاهش می یابد که دلیل آن افزایش ناحیه سکون جلوی استوانه و کاهش اختلاف فشار دو طرف استوانه اصلی و در نتیجه کاهش نیروی پسای فشاری است. همچنین با افزایش قطر مفتول، به علت افزایش ناحیه سکون در جلوی استوانه اصلی و افزایش ضخامت لایه مرزی گرمایی، انتقال گرما از آن کاهش می یابد.

۳. در جریان بر روی استوانه تحت تأثیر مفتول با قطر ۰/۳D در بالادست مشاهده شد که در حالت ساکن تا فاصله ۸D، هیچ ریزش گردابه ای در بین مفتول و استوانه مشاهده نمی شود، در حالی که با نوسان عرضی و سینوسی مفتول با دامنه ۰/۲۵D، ریزش گردابه در پشت مفتول آغاز شد. به عبارتی دیگر، نوسان مفتول

در بالادست باعث سریع تر شدن شروع پدیده ریزش گردابه ها در فضای بین استوانه و مفتول می شود. ۴. در حالت کلی وجود مفتول یا یک استوانه در بالادست جریان بر روی استوانه باعث کاهش در ضرایب پسا و عدد نوسلت استوانه اصلی می شود، ولی در حالت نوسان مفتول با قطر ۰/۳D، دامنه ۰/۲۵D و فرکانس f_0 و $2f_0$ مقادیر نیروی پسا و عدد نوسلت استوانه نسبت به حالت ساکن مفتول افزایش می یابد که این افزایش در فرکانس f_0 بیش ترین مقدار است که دلیل آن پدیده قفل شدگی است.

فهرست علائم

ضریب پسا	C_d
قطر استوانه	D
قطر مفتول	d
فاصله عمودی استوانه و مفتول	L
عدد ناسلت	Nu
فشار	P
عدد رینولدز	Re
دما	T
مولفه سرعت	U
مولفه سرعت	V
مولفه سرعت	W
مختصات	X
مختصات	Y
مختصات	Z
چکالی	ρ
لزجت سینماتیکی	ν

مراجع

- 1- Gao, D. L., Chen, W. L., Li, H., and Hu, H., "Flow around a circular cylinder with slit", *Experimental*

- Thermal and Fluid Science*, Vol. 82, pp. 287-301, (2017).
- 2- Tamoor, M., Waqas, M., Khan, M. I., Alsaedi, A., and Hayat, T., "Magnetohydrodynamic flow of Casson fluid over a stretching cylinder", *Results in Physics*, Vol. 7, pp. 498-502, (2017).
 - 3- Adibi, T., and Razavi, S. E., "A new characteristic approach for incompressible thermo-flow in Cartesian and non-Cartesian grids", *International Journal for Numerical Methods in Fluids*, Vol. 79, pp. 371-393, (2015).
 - ۴- بهروزی، ب.، تبریزی، ح. ب. و دامنگیر، ا.، "بررسی تجربی تأثیر زبری سطح بر تشکیل برفک روی استوانه"، *علوم کاربردی و محاسباتی در مکانیک*، شماره ۳۰، صفحه ۶۰-۵۱، (۲۰۱۸).
 - ۵- وند، ح. ا. س.، و پارسا، ا. ب.، "بررسی عددی و تحلیلی اثرات تفرق حرارتی بر انتقال حرارت جریان نانوسیال درون یک کانال." *علوم کاربردی و محاسباتی در مکانیک*، شماره ۲۹، صفحه ۴۰-۲۱، (۲۰۱۸).
 - 6- Adibi, T., "Experimental investigation about drag force on the both icy and non-icy airfoils", *Instrumentation Mesure Metrologie*, Vol. 18, pp. 49-54, (2019).
 - 7- Soltani Ayan, M., Entezari, M., and Chini, S. F., "Experiments on skin friction reduction induced by superhydrophobicity and Leidenfrost phenomena in a Taylor-Couette cell", *International Journal of Heat and Mass Transfer*, Vol. 132, pp. 271-279, (2019).
 - 8- Alam, M. M., Moriya, M., Takai, K., and Sakamoto, H., "Fluctuating fluid forces acting on two circular cylinders in a tandem arrangement at a subcritical Reynolds number", *Journal of Wind Engineering and Industrial Aerodynamics*, Vol. 91, pp. 139-154, (2003).
 - 9- Zhang, P. F., Wang, J. J., and Huang, L. X., "Numerical simulation of flow around cylinder with an upstream rod in tandem at low Reynolds numbers", *Applied Ocean Research*, Vol. 28, pp. 183-192, (2006).
 - 10- Juncu, G., "A numerical study of momentum and forced convection heat transfer around two tandem circular cylinders at low Reynolds numbers. Part II: Forced convection heat transfer", *International Journal of Heat and Mass Transfer*, Vol. 50, pp. 3799-3808, (2007).
 - 11- Mahír, N., and Altaç, Z., "Numerical investigation of convective heat transfer in unsteady flow past two cylinders in tandem arrangements", *International Journal of Heat and Fluid Flow*, Vol. 29, pp. 1309-1318, (2008).
 - 12- Wang, Y. t., Yan, Z.-m., and Wang, H.-m., "Numerical simulation of low-Reynolds number flows past two tandem cylinders of different diameters", *Water Science and Engineering*, Vol. 6, pp. 433-445, (2013).
 - 13- Mahir, N., and Altaç, Z., "Numerical Investigation of Flow and Heat Transfer Characteristics of Two Tandem Circular Cylinders of Different Diameters", *Heat Transfer Engineering*, Vol. 38, pp. 1367-1381, (2017).
 - ۱۴- رضوی، س.، و محمدی سفیدان، ع.، "بررسی عددی تأثیر مفتول کنترلگر روی مشخصه‌های جریان سیال-گرما حول استوانه دایروی

محصور در کانال"، مهندسی مکانیک دانشگاه تبریز، شماره ۴۶، صفحه ۱۲۹-۱۲۳، (۲۰۱۷).

- 15- S., Bao, Chen, S., Liu, Z., Li, J., Wang, H., and Zheng, C., "Simulation of the flow around an upstream transversely oscillating cylinder and a stationary cylinder in tandem", *Physics of Fluids*, Vol. 24, p. 023603, (2012).
- 16- Fu, Y., Zhao, X., Wang, X., and Cao, F., "Computation of Flow Past an In-Line Oscillating Circular Cylinder and a Stationary Cylinder in Tandem Using a CIP-Based Model", *Mathematical Problems in Engineering*, Vol. 2015, pp. 9, (2015).

